05

Эффект памяти формы в монокристаллах сплава Fe—16Mn—10Cr—8Ni—4Si при растяжении

© И.В. Киреева, Ю.И. Чумляков, А.В. Федорова, И.В. Куксгаузен, Д.А. Куксгаузен

Национальный исследовательский Томский государственный университет, Томск, Россия E-mail: kireeva@spti.tsu.ru

Поступило в Редакцию 8 июля 2025 г. В окончательной редакции 12 августа 2025 г. Принято к публикации 12 августа 2025 г.

Впервые в монокристаллах сплава Fe-16Mn-10Cr-8Ni-4Si (wt.%) с обратимым мартенситным превращением $\Gamma \coprod K \hookrightarrow \Gamma \Pi Y$, ориентированных для растяжения вдоль направления $[\bar{1}11]$, получен эффект памяти формы $10\,\%$ при последовательном увеличении деформации в цикле нагрузка-разгрузка и нагреве в свободном состоянии. Значение эффекта памяти формы по величине оказалось близким к теоретической величине деформации превращения $\varepsilon_{tr} = 10.8\,\%$ для мартенситного превращения $\Gamma \coprod K - \Gamma \Pi Y$ в этой ориентации при растяжении. Физическая причина достижения эффекта памяти формы, близкого к теоретическому значению ε_{tr} , связана с высоким уровнем напряжений на пределе текучести $\sigma_{0.1}$ исходной $\Gamma \coprod K$ фазы, который приводит к развитию мартенситного превращения $\Gamma \coprod K \hookrightarrow \Gamma \Pi Y$ под нагрузкой без дефектообразования.

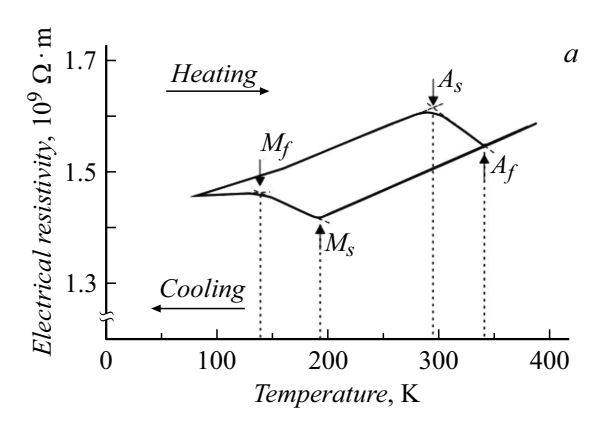
Ключевые слова: монокристаллы, мартенситное превращение Γ ЦК $-\Gamma$ ПУ, эффект памяти формы, растяжение.

DOI: 10.61011/PJTF.2025.22.61579.20434

В последнее десятилетие возрос интерес к сплавам на основе железа Fe-Mn-Cr-Ni-Si с эффектом памяти формы (ЭПФ) при обратимом мартенситном превращении (МП) ГЦК↔ГПУ [1-4]. Эти сплавы состоят из дешевых компонентов, имеют неупорядоченную структуру и высокую пластичность в аустените, которая позволяет использовать хорошо разработанные методы их выплавки и получения из них изделий для массового производства [1,3]. По величине ЭПФ эти сплавы не уступают сплавам на основе Ti-Ni. В поликристаллах сплава Fe-20.2Mn-5.6Si-8.9Cr-5.0Ni (wt.%) после литья и без дополнительных термомеханических обработок был получен ЭПФ до 7.6% [1]. В монокристаллах сплава Fe-30Mn-1Si при МП ГЦК-ГПУ был обнаружен максимальный ЭПФ 8-9.2% при деформации растяжением в ориентации [144], тогда как максимальная величина деформации превращения ε_{tr} для МП ГЦК-ГПУ в этой ориентации при растяжении составляет 17.5 % [5,6]. До сих пор в сплавах на основе железа Fe-Mn-Si экспериментально получить ЭПФ при МП ГЦК-ГПУ, по величине равный теоретической величине деформации превращения, не удавалось. Физические причины, по которым экспериментально не достигались теоретические значения ε_{tr} в сплавах на основе железа Fe-Mn-Si, связаны с несколькими факторами: 1) взаимодействием вариантов ГПУ-мартенсита, которое подавляет обратимое движение границ кристаллов мартенсита при нагреве; 2) образованием ОЦТ-мартенсита, объемная доля которого увеличивается с понижением температуры и ухудшает ЭПФ; 3) низким уровнем прочностных свойств исходной ГЦК-фазы, что способствует развитию пластической деформации скольжением или двойникованием при МП ГЦК↔ГПУ [1,4–6].

В настоящей работе представлены результаты исследований ЭПФ при МП ГЦК \leftrightarrow ГПУ на монокристаллах сплава Fe-16Mn-10Cr-8Ni-4Si (wt.%), ориентированных для растяжения вдоль направления [$\bar{1}11$]. Кристаллы с осью растяжения [$\bar{1}11$] ориентированы для множественного развития вариантов ГПУ-мартенсита с начала деформации. Для этой ориентации при растяжении теоретическое значение деформации превращения $\varepsilon_{tr}=Sm=10.8$ % (S=0.35— величина сдвига при МП ГЦК-ГПУ, а m=0.31 — фактор Шмида для образования моноварианта ГПУ-мартенсита) [7,8]. Выбор этой ориентации позволяет исследовать величину ЭПФ при условии взаимодействия вариантов ГПУ-мартенсита с начала деформации.

Монокристаллы сплава Fe-16Mn-10Cr-8Ni-4Si выращивали методом Бриджмена в атмосфере гелия. Ориентацию определяли на дифрактометре ДРОН-3М с использованием $\mathrm{Fe}K_{\alpha}$. Образцы в форме двойной лопатки размером $2 \times 1.5 \times 15 \, \text{mm}$ вырезали на электроискровом станке. Образцы гомогенизировали в атмосфере гелия при 1373 К в течение 14 h и затем закаливали в воду. Температуры $M_s = 195 \pm 3$ K и $M_f = 138 \pm 3$ K соответственно для начала и конца прямого МП при охлаждении и $A_s = 295 \pm 3 \,\mathrm{K}, \ A_f = 340 \pm 3 \,\mathrm{K}$ соответственно для начала и конца обратного МП при нагреве определяли по температурной зависимости электросопротивления $\rho(T)$. Температурную зависимость предела текучести $\sigma_{0.1}(T)$, кривые напряжение—деформация и ЭПФ при постоянной температуре ($M_s = 195$ и 77 K) при увеличении деформации в цикле нагрузка-разгрузка исследовали на испытательной машине Instron 5969 при скорости деформации $4 \cdot 10^{-4} \, \mathrm{s}^{-1}$. Зависимость $\sigma_{0.1}(T)$ исследовали на одном образце вначале в температурном



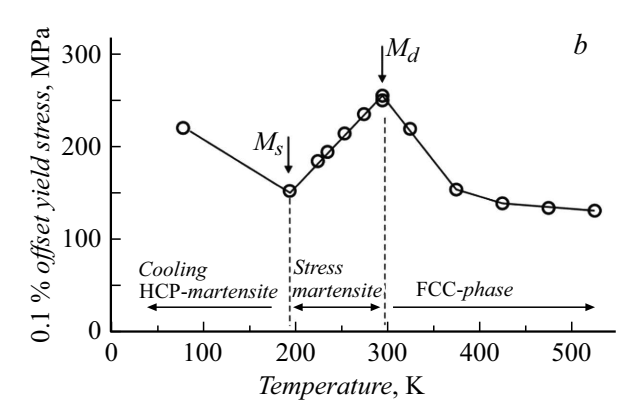


Рис. 1. Температурная зависимость электросопротивления $\rho(T)$ (a) и предела текучести $\sigma_{0.1}(T)$ при растяжении (b) монокристаллов [$\bar{1}11$] сплава Fe-16Mn-10Cr-8Ni-4Si с обратимым МП ГЦК \leftrightarrow ГПУ. Cooling — охлаждение, Heating — нагрев, Cooling HCP-martensite — ГПУ-мартенсит охлаждения, Stress martensite — мартенсит напряжений, FCC-phase — ГЦК-фаза.

интервале от 300 до 523 K, а затем от 300 до 77 K. В этом случае, чтобы уменьшить влияние пластической деформации на величину $\sigma_{0.1}$ при последующей температуре, образец деформировали до остаточной деформации 0.1 %. Электронно-микроскопические исследования проводили на электронном микроскопе Jeol 2010 при ускоряющем напряжении 200 kV.

При исследовании температурной зависимости электросопротивления $\rho(T)$ при охлаждении до 77 K и нагреве до 400 К наблюдается замкнутая петля (рис. 1, a), характерная для развития обратимого МП [7,8]. МП ГЦК \leftrightarrow ГПУ в монокристаллах сплава Fe-16Mn-10Cr-8Ni-4Si при охлаждении/нагреве в свободном состоянии развивается в широком температурном интервале и характеризуется термическим гистерезисом $\Delta T_h = A_f - M_s = 145 \,\mathrm{K}$ (рис. 1, *a*). Характерная для МП зависимость на кривой $\rho(T)$ при охлаждении и нагреве в сплавах системы Fe-Mn-Si не наблюдается при условии, что $T_{\rm N} > M_s$ ($T_{\rm N}$ — температура Нееля, при которой ГЦК-фаза из парамагнитного состояния переходит в антиферромагнитное) [9]. Следовательно, в монокристаллах Fe-16Mn-10Cr-8Ni-4Si температура $T_{
m N}$ ниже температуры жидкого азота и не оказывает влияния на образование ГПУ-мартенсита охлаждения [10].

Температурная зависимость предела текучести $\sigma_{0.1}(T)$ в температурном интервале от 77 до 523 K состоит из трех стадий, которые наблюдаются в сплавах, испытывающих МП под нагрузкой [7,8] (рис. 1, b). Совместный анализ зависимостей $\rho(T)$ и $\sigma_{0.1}(T)$ показывает, что минимальное напряжение $\sigma_{0.1}=150\pm10$ МРа на зависимости $\sigma_{0.1}(T)$ соответствует температуре $M_s=195\pm3$ K [7,8]. При $T< M_s$ напряжения $\sigma_{0.1}$ возрастают с понижением температуры, и величина $\alpha=d\sigma_{0.1}/dT$ является отрицательной. Эта стадия на зависимости $\sigma_{0.1}(T)$ связана с началом деформации ГПУ-мартенсита охлаждения. При T=300 K на зависимости $\sigma_{0.1}(T)$ наблюдается максимум $\sigma_{0.1}=255\pm10$ МРа. Эта температура соответствует температуре M_d , при которой на-

пряжения для начала образования ГПУ-мартенсита напряжений (МН) и для начала пластической деформации исходной фазы равны [7,8]. В температурном интервале M_s-M_d имеет место аномальная температурная зависимость, на которой напряжения $\sigma_{0.1}$ возрастают с увеличением температуры, величина $\sigma = d\sigma_{0.1}/dT > 0$ и зависимость $\sigma_{0.1}(T)$ описывается соотношением Клапейрона—Клаузиуса [7,8]:

$$\alpha = \frac{d\sigma_{0.1}(T)}{dT} = -\frac{\Delta S}{\varepsilon_{tr}} = -\frac{\Delta H}{T_0 \varepsilon_{tr}} > 0.$$
 (1)

Здесь ΔS , ΔH — соответственно изменение энтропии и энтальпии при МП на единицу объема, ε_{tr} — деформация превращения при переходе ГЦК-ГПУ, T_0 — температура химического равновесия фаз. Температурный интервал для МН составляет 102 ± 5 K, а величина $\alpha=d\sigma_{0.1}/dT=1.02$ МРа/К. При $T>M_d$ напряжения $\sigma_{0.1}$ уменьшаются, величина $\alpha=d\sigma_{0.1}/dT$ становится отрицательной, эта стадия связана с началом пластической деформации ГЦК-фазы [7,8].

Электронно-микроскопические исследования показывают, что при температуре $T \leqslant M_s$ в монокристаллах [111] с самого начала образуется ГПУ-мартенсит (рис. 2), который является обратимым, и имеет место ЭПФ. ЭПФ исследовали при постоянной температуре (77 K и $T = M_s = 195 \,\mathrm{K}$) при последовательном увеличении деформации в цикле нагрузка-разгрузка и последующем нагреве в свободном состоянии. Нагрев образца проводили двумя способами: в дилатометре до полного завершения обратного перехода ГПУ-ГЦК и при нагреве в печи при температуре 573 К в течение 15 min. Для каждого случая после нагрева последующую деформацию увеличивали. Так как деформацию в каждом новом цикле нагрузка-разгрузка после нагрева увеличивали на одном образце, такие эксперименты можно рассматривать как эффект тренировки.

Полные кривые напряжение—деформация при 77 и 195 К представлены на рис. 3, а. Цифрами на кривых

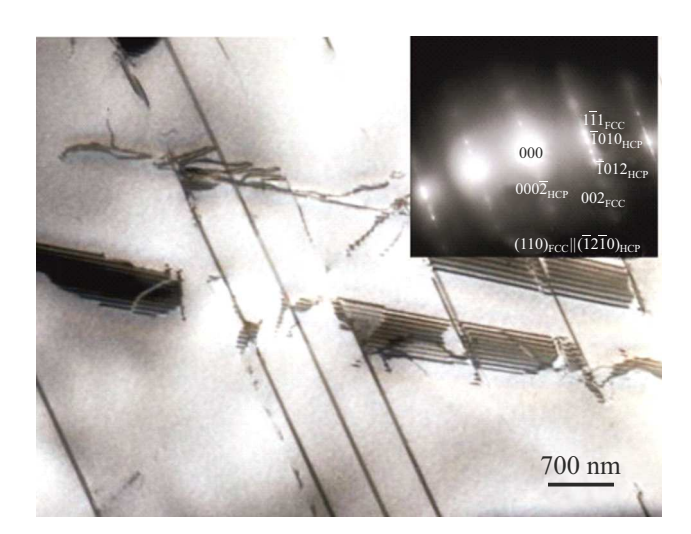


Рис. 2. ГПУ-мартенсит в монокристаллах [$\bar{1}11$] сплава Fe-16Mn-10Cr-8Ni-4Si после деформации растяжением 5 % при температуре $M_s=195$ K.

указана величина преддеформации в цикле нагрузкаразгрузка. Согласно зависимости $\rho(T)$ (рис. 1, a), при температуре 77 К кривая напряжение – деформация обусловлена деформацией ГПУ-мартенсита охлаждения, а при 195 К — мартенсита напряжений [7,8]. Из рис. З видно, что после нагрева обратимая деформация $arepsilon_{rev} = arepsilon_{shme} \; (shme \; - \;$ эффект памяти формы) линейно возрастает с увеличением деформации в цикле нагрузкаразгрузка. Результаты измерения ЭПФ двумя способами совпадают. При 77 К максимальный ЭПФ 10% был получен после преддеформации 14.4 и 11% в цикле нагрузка-разгрузка соответственно при нагреве в дилатометре и в печи (рис. 3, b). При температуре 195 К максимальный ЭПФ 9.3 % был получен после преддеформации 16.4% в цикле нагрузка-разгрузка при нагреве в дилатометре. При 77 К ЭПФ оказался близким к теоретической величине деформации превращения $\varepsilon_{tr} = 10.8 \,\%$ для МП ГЦК-ГПУ при растяжении для ориентации [$\bar{1}11$] [7] и больше, чем максимальный ЭПФ 8-9.2%в ориентации [144] сплава Fe-30Mn-1Si [5,6]. Ранее близкий к теоретической величине $\varepsilon_{tr}=10.8\,\%$ для МП ГЦК-ГПУ при растяжении для ориентации [111] ЭПФ 7.4 и 6.8% был получен в монокристаллах [$\bar{1}11$] высокоэнтропийного сплава $Cr_{20}Mn_{20}Fe_{20}Co_{35}Ni_5$ с МП ГЦК → ГПУ при аналогичных условиях деформации [11].

Совместный анализ данных, представленных в настоящей работе и ранее в [5,6,11], показывает, во-первых, что замена атомов Мп в сплаве Fe-30Mn-1Si на атомы Сг и Ni приводит к значительному упрочнению исходной ГЦК-фазы в монокристаллах Fe-16Mn-10Cr-8Ni-4Si. При температуре M_d в исследуемых монокристаллах Fe-16Mn-10Cr-8Ni-4Si напряжения $\sigma_{0.1}(M_d)=255\pm10\,\mathrm{MPa}$ в 3.5 раза превышают $\sigma_{0.1}(M_d)=70-75\,\mathrm{MPa}$ в монокристаллах Fe-30Mn-1Si [5,6]. Это приводит к тому, что в моно-

кристаллах [111] развитие нескольких вариантов ГПУ-мартенсита с самого начала деформации и их взаимодействие друг с другом под нагрузкой происходит без дефектообразования, что сопровождается увеличением ЭПФ, как ранее было показано при твердорастворном упрочнении атомами углерода монокристаллов высокоэнтропийного сплава (FeMnCr) $_{60}$ Co $_{35}$ Ni $_{4.8}$ Co $_{0.2}$ [12]. Во-вторых, в монокристаллах Fe-16Mn-10Cr-8Ni-4Si легирование атомами Ст усиливает ближний порядок (БП). БП затрудняет образование больших пластин ГПУ-мартенсита при росте в толщину из-за необходимости разрушения БП частичными дислокациями Шокли $a/6\langle 112\rangle$ через одну плоскость {111}. Тонкий ГПУ-мартенсит при прямом МП под нагрузкой не создает больших концентраций напряжений в голове пластины мартенсита, которые аккомодируются упруго без пластической деформации исходной фазы, и при снятии нагрузки возвращается "точно назад" после нагрева [12]. В-третьих, при 77 К в монокристаллах [111] Fe-16Mn-10Cr-8Ni-4Si при увеличении деформации в цикле нагрузка-разгрузка ОЦТ-мартенсит под нагрузкой появляется после 5% деформации в местах пересечения вариантов ГПУ-мартенсита друг с другом и не приводит к ухудшению ЭПФ из-за малой объемной доли [4].

Сверхэластичность в монокристаллах [$\bar{1}11$] Fe-16Mn-10Cr-8Ni-4Si при развитии МП ГЦК-ГПУ под нагрузкой в температурном интервале M_s-M_d не проявляется. Во-первых, МП ГЦК \leftrightarrow ГПУ характеризуется широким термическим гистерезисом $\Delta T_h=145$ K; во-вторых, температура A_f в этих кристаллах выше температуры M_d (рис. 1). Это значит, что в монокристаллах [$\bar{1}11$] Fe-16Mn-10Cr-8Ni-4Si для проявления сверхэластичного поведения нет термодинамических условий [7,8].

Итак, в монокристаллах [$\bar{1}11$] сплава Fe–16Mn–10Cr–8Ni–4Si (wt.%) развивается обратимое МП ГЦК \leftrightarrow ГПУ с термическим гистерезисом $\Delta T_h = A_f - M_s = 145$ К. Впервые для МП ГЦК \leftrightarrow ГПУ в ориентации [$\bar{1}11$] при температуре 77 К при растяжении в случае развития нескольких вариантов ГПУ-мартенсита получен ЭПФ 10%, по величине близкий к теоретической величине деформации превращения 10.8% для МП ГЦК \leftrightarrow ГПУ в этой ориентации при последовательном увеличении деформации в цикле нагрузка-разгрузка и нагреве в своболном состоянии.

Финансирование работы

Результаты получены за счет гранта Российского научного фонда № 25-19-00023 (https://rscf.ru/project/25-19-00023/).

Конфликт интересов

Авторы заявляют, что у них нет конфликта интересов.

Given strain, %

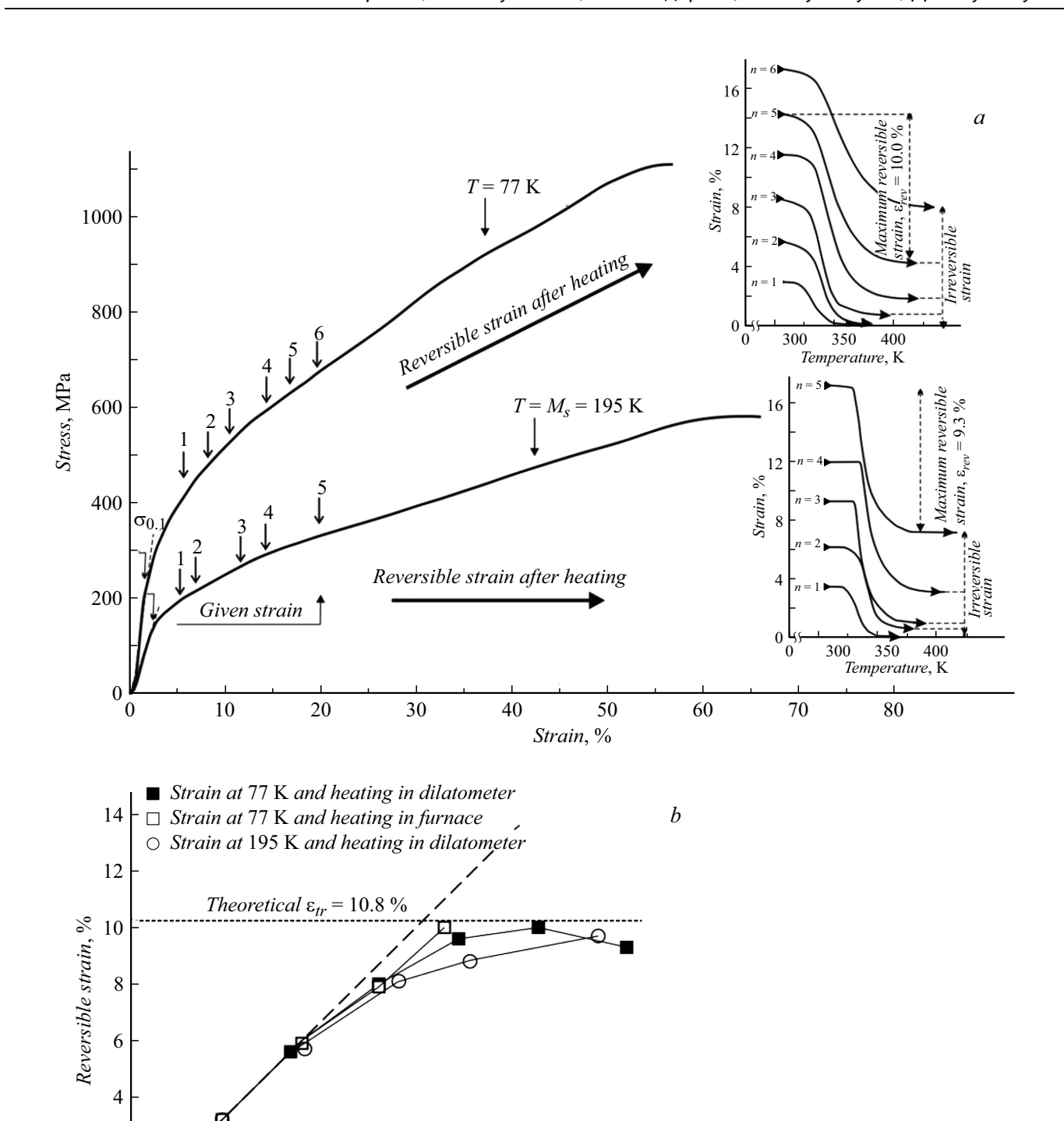


Рис. 3. Кривые напряжение—деформация и соответствующие им кривые деформация—температура после нагрева в дилатометре после предварительной деформации в цикле нагрузка-разгрузка (a) и обратимая деформация (b) монокристаллов [$\bar{1}11$] сплава Fe-16Mn-10Cr-8Ni-4Si. Цифры на кривых напряжение—деформация показывают предварительную деформацию в цикле нагрузка-разгрузка. *Given strain* — заданная деформация, *Reversible strain after heating* — обратимая деформация после нагрева, *Irreversible strain* — необратимая деформация, *Maximum reversible strain* — максимальная обратимая деформация, *Strain at* 77 К *and heating in dilatometer* — деформация при 77 К и нагрев в дилатометре, *Strain at* 77 К *and heating in furnace* — деформация при 77 К и нагрев в печи, *Strain at* 195 К *and heating in dilatometer* — деформация при 195 К и нагрев в дилатометре, *Theoretical* $\varepsilon_{tr} = 10.8\%$ — теоретическая величина деформации превращения.

Список литературы

- [1] T. Sawaguchi, T. Maruyama, H. Otsuka, A. Kushibe, Y. Inoue, K. Tsuzaki, Mater. Trans., 57 (3), 283 (2016). DOI: 10.2320/matertrans.MB201510
- [2] Y. Fu, J. Lu, G. Gao, H. Peng, Y. Wen, J. Alloys Compd., 1010, 177148 (2025). DOI: 10.1016/j.jallcom.2024.177148
- [3] A. Algamal, H. Abedi, U. Gandhi, O. Benafan, M. Elahinia,
 A. Qattawi, J. Alloys Compd., 1010, 177068 (2025).
 DOI: 10.1016/j.jallcom.2024.177068
- [4] J. Chen, H.B. Peng, Q. Yang, S.L. Wang, F. Song, Y.H. Wen, Mater. Sci. Eng. A, 677, 133 (2016). DOI: 10.1016/j.msea.2016.09.006
- [5] A. Sato, E. Chishima, Y. Yamaji, T. Mori, Acta Met., 32, 539 (1984). DOI: 10.1016/0001-6160(84)90065-8
- [6] A. Sato, E. Chishima, K. Soma, T. Mori, Acta Met., 30, 1177 (1982). DOI: 10.1016/0001-6160(82)90011-6
- [7] K. Otsuka, C.M. Wayman, *Shape memory materials* (Cambridge University Press, Cambridge, 1998).
- [8] K. Otsuka, X. Ren, Prog. Mater. Sci., 50 (5), 135 (2005).DOI: 10.1016/j.pmatsci.2004.10.001
- [9] J.H. Yang, H. Chen, C.W. Wayman, Met. Trans. A, 23, 1439 (1992). DOI: 10.1007/BF02647327
- [10] H. Otsuka, H. Yamada, T. Maruyama, H. Tanahashi, S. Matsuda, M. Murakami, ISIJ Int., 30 (8), 674 (1990). DOI: 10.2355/isijinternational.30.674
- [11] I.V. Kireeva, Yu.I. Chumlyakov, A.A. Saraeva, A.V. Vyrodova, Z.V. Pobedennaya, Mater. Lett., 131, 133461 (2023). DOI: 10.1016/j.matlet.2022.133461
- [12] I.V. Kireeva, Yu.I. Chumlyakov, A.A. Saraeva
 D.A. Kuksgauzen, Mater. Lett., 397, 138851 (2025).
 DOI: 10.1016/j.matlet.2025.138851